

Figure 13a. Distribution of catches (kg) of long-horned sculpin (all sizes) in the Southern Gulf of St. Lawrence September surveys.

Figure 13a. Distribution des prises (kg) de chaboisseau à dix-huit épines (toutes les tailles) lors des relevés annuels du sud du Golfe du Saint-Laurent.

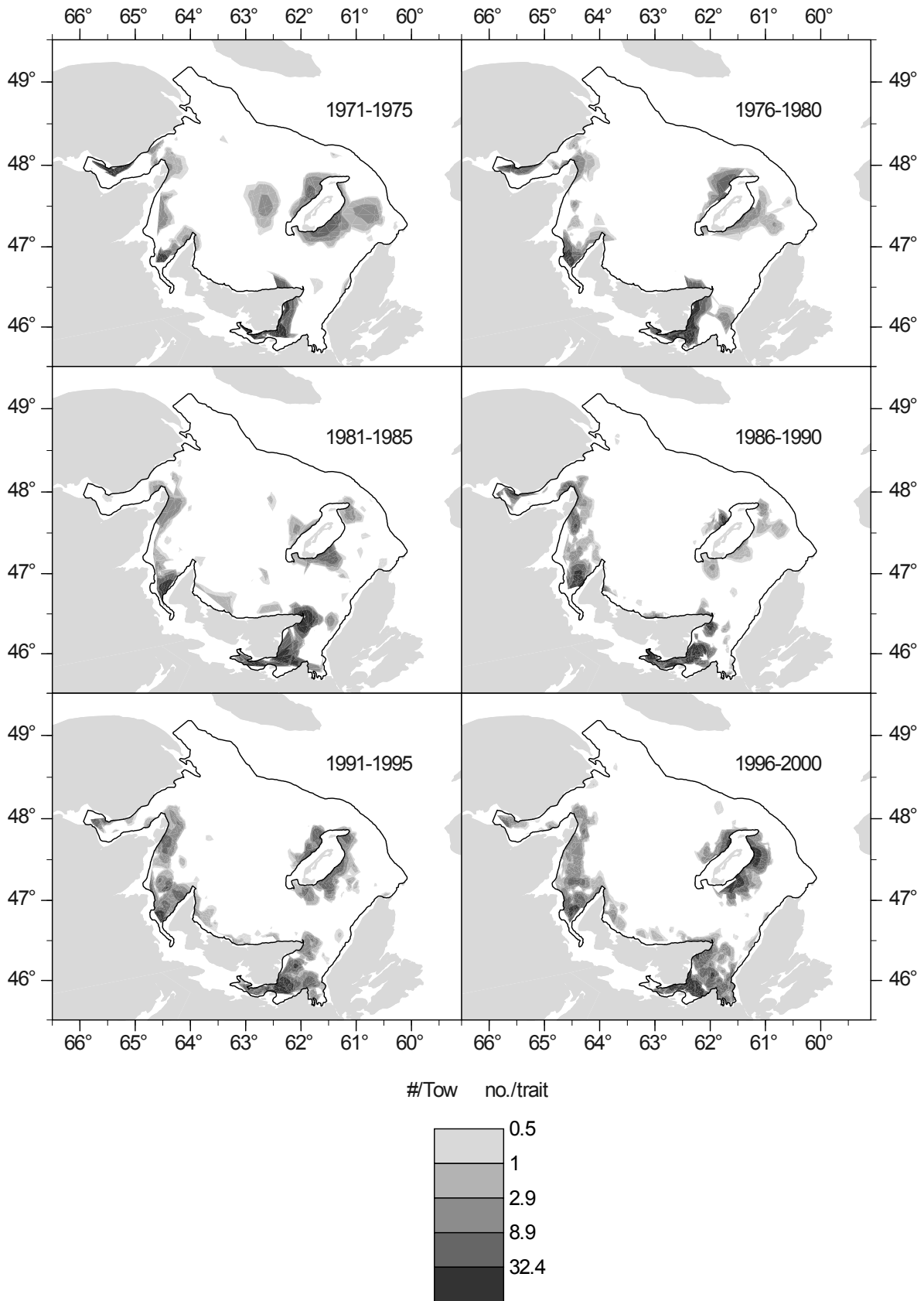


Figure 13b. Distribution of catches (#'s) of mature-sized (≥ 21 cm) long-horned sculpin in the Southern Gulf of St. Lawrence September surveys.

Figure 13b. Distribution des prises (#) de chaboisseau à dix-huit épines de taille mature (≥ 21 cm) lors des relevés annuels du sud du Golfe du Saint-Laurent.

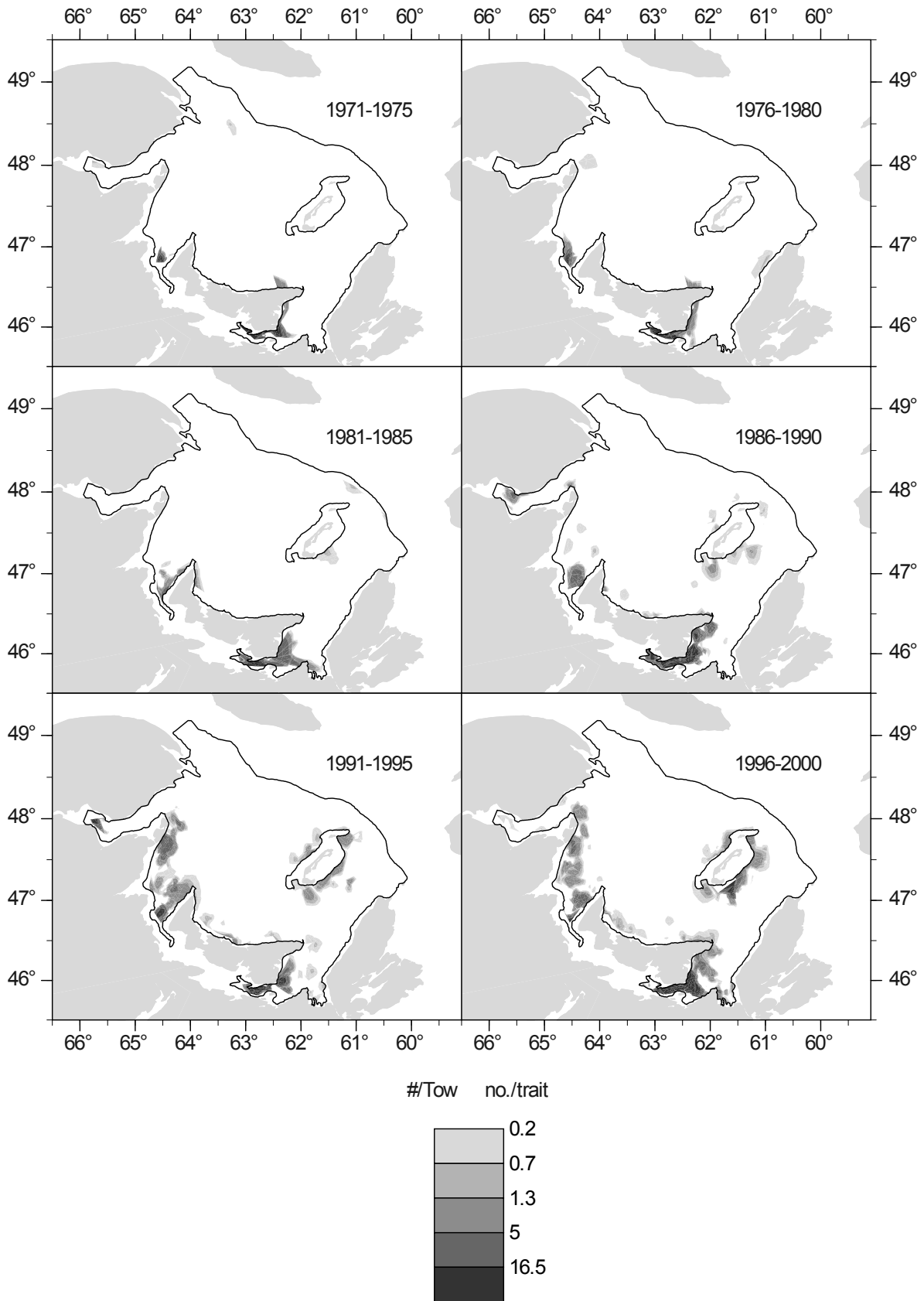


Figure 13c. Distribution of catches (#'s) of immature-sized (< 21 cm) long-horned sculpin in the Southern Gulf of St. Lawrence September surveys.

Figure 13c. Distribution des prises (#) de chaboisseau à dix-huit épines de taille immature (<21 cm) lors des relevés annuels du sud du Golfe du Saint-Laurent.

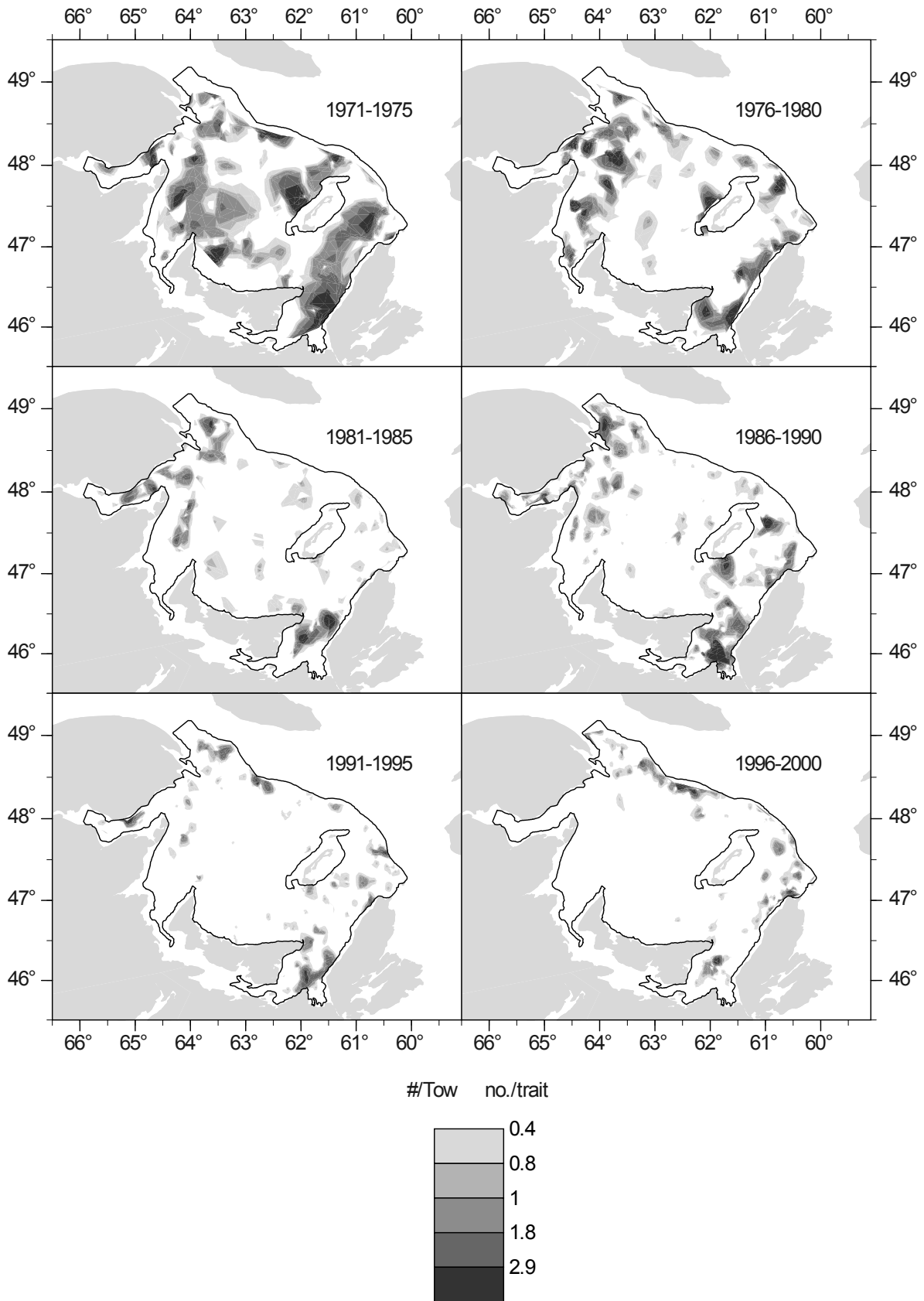


Figure 14b. Distribution of catches (#'s) of mature-sized (≥ 50 cm) thorny skate in the Southern Gulf of St. Lawrence September surveys.

Figure 14b. Distribution des prises (#) de raie épineuse de taille mature (≥ 50 cm) lors des relevés annuels du sud du Golfe du Saint-Laurent.

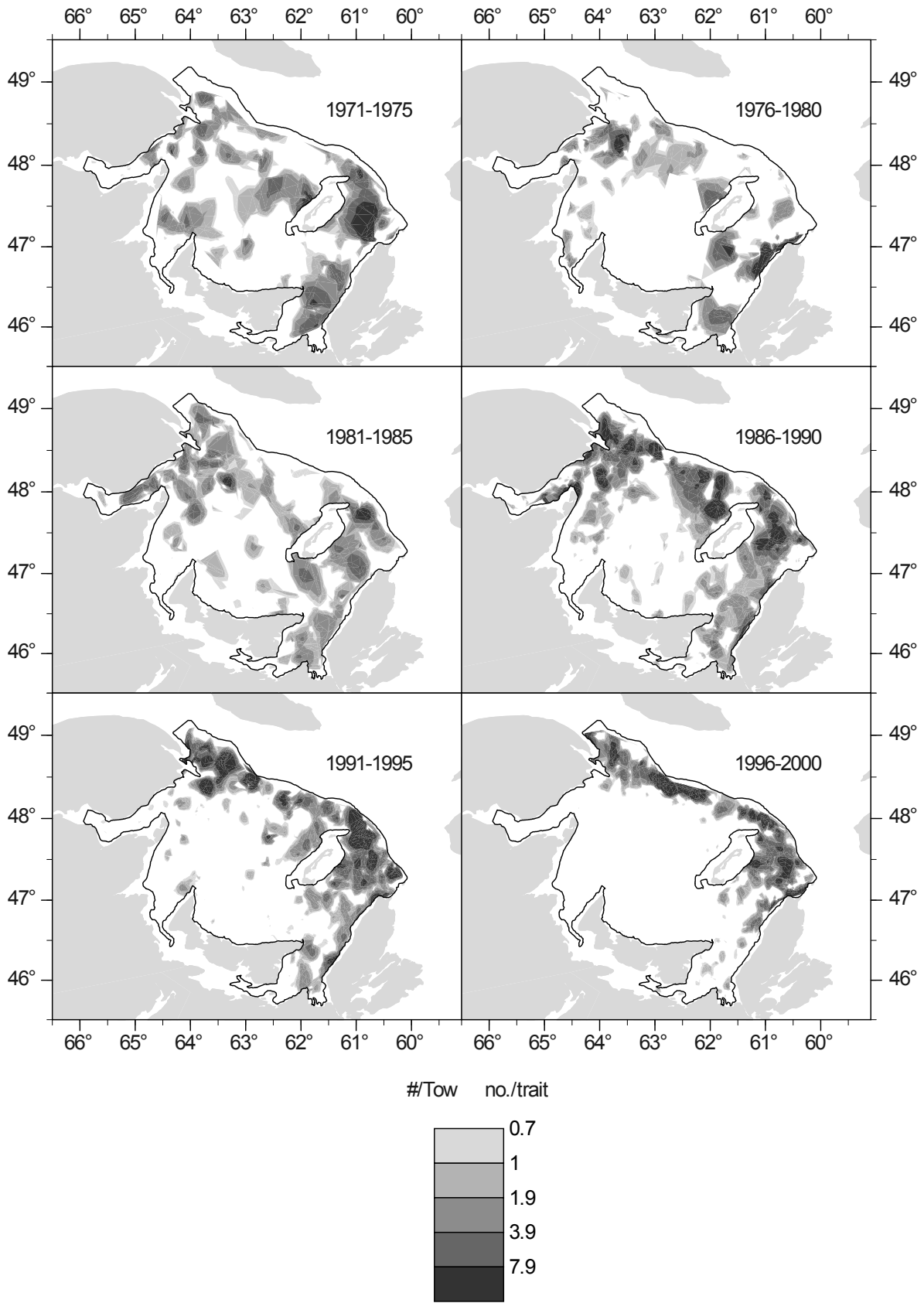


Figure 14c. Distribution of catches (#'s) of immature-sized (< 50 cm) thorny skate in the Southern Gulf of St. Lawrence September surveys.

Figure 14c. Distribution des prises (#) de raie épineuse de taille immature (<50 cm) lors des relevés annuels du sud du Golfe du Saint-Laurent.